

تأثیر فسفیت پتاسیم بر ویژگی‌های رشدی و فعالیت آنتی‌اکسیدانی گیاه لیموترش

(*Citrus aurantifolia* (Christm.) Swingle)

The Impact of Potassium Phosphate on Growth Parameters and
Antioxidant Activities of Lime (*Citrus aurantifolia* (Christm.) Swingle)
Under Salinity Conditions

سارا اترش^۱، منصوره شمیلی^{*}^۲، عبدالمجید میرزا علیان دستجردی^۱، آزاده گودرزی^۳، عبدالنبی باقری^۳

۱. گروه علوم باگبانی، دانشگاه هرمزگان، بندرعباس، ایران

۲. پژوهشکده هرمز، دانشگاه هرمزگان، بندرعباس، ایران.

۳. بخش تحقیقات گیاهپزشکی، مرکز تحقیقات و آموزش کشاورزی و منابع طبیعی هرمزگان، سازمان تحقیقات، آموزش و ترویج کشاورزی، بندرعباس، ایران.

نویسنده مسئول، پست الکترونیک: (shamili@ut.ac.ir)

تاریخ دریافت: ۱۴۰۲/۶/۴، تاریخ پذیرش: ۱۴۰۲/۶/۱۳

چکیده

شوری از جمله تنش‌های غیرزیستی محدود‌کننده رشد مرکبات است. در این راستا انتخاب روش مناسب بهمنظور بهبود صفات رشدی و واکنش آنتی‌اکسیدانی تحت شرایط تنش شوری می‌تواند مفید باشد. پژوهش حاضر به صورت فاکتوریل در قالب طرح کاملاً تصادفی با سه تکرار به صورت گلدنی در سال ۱۴۰۱ در گلخانه دانشگاه هرمزگان انجام شد. گیاهان مورد استفاده، دانه‌الهای شش ماهه (ارتفاع حدود ۶۰ سانتی‌متر) لیموترش سالم و عاری از بیماری بودند. تیمارهای آزمایشی شامل شوری ۱/۵، ۳، ۴/۵ و ۶ دسی‌زیمنس بر متر و فسفیت پتاسیم (صفر، ۱/۵ و ۳ گرم در لیتر) بود. نتایج نشان داد که سطح ۶ دسی‌زیمنس بر متر نمک منجر به کاهش تعداد برگ، طول ساقه و حجم ریشه (به ترتیب ۲/۷، ۲/۵، ۱/۳ و ۴/۷ درصد) و افزایش نشت یونی و مالون‌دی‌آلدئید (به ترتیب ۵۰/۴۷ و ۴/۵ درصد) شد. کاربرد فسفیت پتاسیم (۱/۵ گرم در لیتر) باعث افزایش تعداد برگ، طول ساقه، حجم ریشه و طول ریشه (به ترتیب ۳/۳، ۲/۲، ۱/۵ و ۱۱/۵ درصد) شد. علاوه بر این تیمار با فسفیت پتاسیم سبب افزایش محتوای پروتئین و فعالیت کاتالاز، سوپراکسید دیسموتاز، فنیل آلانین آمونیالیاز، گایاکول‌پراکسیداز و آسکوربات پراکسیداز (به ترتیب ۹/۶، ۹۵/۹۷، ۳۶/۹، ۳۰/۲۰، ۶۹/۱ و ۶۵/۷ درصد) و کاهش نشت یونی و مالون‌دی‌آلدئید (به ترتیب ۷۵/۷ و ۴۰/۶ درصد) شد. بر اساس نتایج می‌توان انتظار داشت که فسفیت پتاسیم (۱/۵ گرم در لیتر) با تحریک سیستم آنتی‌اکسیدانی و خنثی‌سازی رادیکال‌های آزاد اکسیژن، باعث بهبود خصوصیات رشدی و تعدیل اثرات مضر تنش شوری در پایه لیموترش می‌شود.

واژه‌های کلیدی: آنزیم آنتی‌اکسیدان، طول ساقه، فنول، کلرید سدیم، نشت یونی.

مقدمه

بیش از ۸۰۰ میلیون هکتار از اراضی و ۳۲ میلیون هکتار از زمین‌های کشاورزی در سطح جهان تحت تأثیر شوری قرار دارند. تنش شوری با القاء تنش اسمری و ممانعت از جذب آب توسط ریشه، باعث کاهش بازده فتوسنتزی گیاهان می‌شود و متعاقباً با ایجاد تنش یونی، بر رشد و عملکرد فیزیولوژیکی آن‌ها تأثیر می‌گذارد (Chen *et al.*, 2023). گیاهان برای مقابله با تنش وارد، سیستم دفاعی آنتی‌اکسیدانی خود را فعال می‌کنند (Azizi *et al.*, 2021). تغییرات در فعالیت آنزیم‌های پراکسیداز، سوپراکسید

دیسموتاز و کاتالاز می‌تواند منعکس‌کننده توانایی حذف گونه‌های اکسیژن فعال تحت تنش در گیاهان باشد (Akter *et al.*, 2015). تنش شوری ناشی از کلرور سدیم در درختان زیتون (Hasani *et al.*, 2021) و انجیر (Salimpour *et al.*, 2018) منجر به افزایش فعالیت آنزیم‌های آنتی‌اکسیدانی شد. افزایش سنتز و انتقال اسмолیت‌های سازگار در اندام‌های گیاهی از دیگر استراتژی‌های مهم بقا در برابر تنش شوری است (Hossain *et al.*, 2021). گیاهان در این شرایط اغلب پرولین، پروتئین و قندهای محلول را برای تعادل اسمزی در سطح سلولی افزایش می‌دهند (Akter *et al.*, 2015). در پژوهشی شوری منجر به کاهش تعداد برگ، طول ساقه و افزایش میزان فنول در زیتون (*Olea europaea*) شد (Hasani *et al.*, 2021).

تنش شوری در مركبات از طریق ایجاد تنش اسمزی، سمتی یونی، برهم زدن تعادل یون‌ها و تنش اکسایشی سبب کاهش بازده فتوسنتری برگ‌ها و مانع از رشد رویشی می‌شود. شوری ۶ دسی‌زیمنس بر متر در ۱۰ ژنوتیپ مركبات منجر به افزایش پراکسیداسیون لیپیدی و نشت یونی و همچنین کاهش محتوای نسبی آب برگ شد (Gulain *et al.*, 2014). از پاسخ‌های دفاعی مركبات به تنش شوری، افزایش فعالیت سوپراکسید دیسموتاز، کاتالاز و آسکوربات پراکسیداز بوده است. نمک ۲۰۰ میلی‌مولار منجر به افزایش فعالیت آنزیم‌های کاتالاز، سوپراکسید دیسموتاز، پراکسیداز و کاهش محتوای پروتئین در دو پایه سیترنج و نارنج شد (Abedi *et al.*, 2021).

امروزه با پیشرفت‌های کشاورزی پایدار استفاده از ترکیباتی مانند فسفیت پتابسیم رو به افزایش است. نمک فسفیت حلایت زیادی نسبت به نمک فسفات دارد و بهبود جذب مواد غذایی، آسیمیلاسیون، تحمل به تنش‌های غیر زنده و افزایش رشد ریشه کمک می‌کند (Gomez-Merino and Trejo-Tellez, 2015). کودهای حاوی فسفر و پتابسیم با غلظت مناسب، می‌توانند عملکرد و کیفیت درختان میوه را در شرایط تنش محیطی از جمله شوری بهطور موثر بهبود بخشد. تیمار کود فسفر (۱۶۰۰ میکرومولار) در گیاهان *Isatis cappadocica* منجر به کاهش مالون‌دی‌آلدئید، نشت یونی و فعالیت آنزیم‌های آسکوربات پراکسیداز، کاتالاز، سوپراکسید دیسموتاز شد در حالی که فعالیت آنزیم گلوتاتیون‌ردوکتاز را افزایش داد (Souri *et al.*, 2018). کاربرد کود فسفر (۲/۹۰ میلی‌گرم در کیلوگرم)، سبب بهبود ظرفیت آنتی‌اکسیدانی، فعالیت آنزیمی و افزایش میزان پروتئین در گلابی شد (Ye and Peng, 2019). همچنین کودهای حاوی فسفر و پتابسیم باعث افزایش رشد اندام‌های هوایی، عملکرد و بهبود کیفیت کیوی شده است (Zhang *et al.*, 2023 b).

کودهای حاوی پتابسیم و فسفر تأثیر قابل توجهی بر رشد مركبات و مواد مغذی موجود در خاک دارند. کود فسفر موجب کاهش مالون‌دی‌آلدئید و افزایش فعالیت آنزیم‌های آسکوربات پراکسیداز، کاتالاز و سوپراکسید دیسموتاز در گریپ‌فروت (*Citrus grandis*) (Meng *et al.*, 2021) و افزایش محتوای پروتئین در پرتقال (*Citrus sinensis*) شد (Li *et al.*, 2020). همچنین کود پتابسیم منجر به افزایش فعالیت آنزیم‌های آنتی‌اکسیدانی، افزایش طول و حجم ریشه و در نهایت بهبود رشد رویشی در پایه پرتقال شده است (Wu *et al.*, 2021).

لیموترش (*Citrus aurantifolia*) متعلق به جنس *Citrus* و تیره Rutaceae است (Darjani *et al.*, 2013). منشاء آن هند است و عمدها در مناطق مدیترانه‌ای، هند غربی، مکزیک و آمریکا پرورش داده می‌شود (Darjani *et al.*, 2013). با توجه به بررسی‌های انجام شده تاکنون پژوهشی در زمینه مکانیسم تاثیر تنش شوری با کاربرد فسفیت پتابسیم در گیاه لیموترش گزارش نشده است. از آنجا که ارائه راهکار مناسب به منظور افزایش تحمل به تنش شوری می‌تواند بر بهبود خصوصیات رشدی و سیستم دفاعی آنتی‌اکسیدانی این گیاه موثر باشد. بنابراین، هدف از این پژوهش، ارزیابی آثار سطوح شوری و تیمار فسفیت پتابسیم بر واکنش‌های ریخت‌شناسی، فعالیت آنزیم‌های آنتی‌اکسیدانی و اکسیداسیون چربی غشاء سلولی در پایه گیاه لیموترش است.

مواد و روش‌ها

آماده‌سازی مواد گیاهی و اعمال تیمارها

پژوهش حاضر در سال ۱۴۰۱ در گلخانه و آزمایشگاه گروه علوم باگبانی دانشکده کشاورزی و منابع طبیعی دانشگاه هرمزگان به صورت گلدانی به اجرا درآمد. گیاهان لیموترش مورد استفاده، دانهال‌های شش ماهه (ارتفاع حدود ۶۰ سانتی‌متر) سالم و عاری از بیماری بودند که از یک باع تجاری در شهرستان رودان (استان هرمزگان) تهیه شد. نهال‌ها در گلدان‌های پلاستیکی (ارتفاع، قطر بالا و قطر پائین به ترتیب ۱۹/۵، ۲۳ و ۱۷ سانتی‌متر) دارای زهکش، کشت شدند. بستر مورد استفاده برای کاشت

نهال‌ها، ترکیب خاک باعچه، خاکبرگ و ماسه (۱:۱:۱) بود. گیاهان در دمای متوسط روزانه 29 ± 2 و دمای متوسط شبانه 25 ± 2 درجه سلسیوس با رطوبت نسبی ۷۴ درصد نگهداری شدند. هشت هفته پس از استقرار نهال‌ها در گلدان، تیمار شوری آغاز شد. نمک مورد استفاده کلرید سدیم (Merck, Germany) در آب مقطر حل شد. مقدار $1/5$ ، $3/5$ و $6/5$ دسی‌زیمنس بر متر نمک به عنوان تیمار شوری (از طریق آب آبیاری و هفتاهی سه بار)، در نظر گرفته شد. با توجه به سطح شوری آب آبیاری منطقه $1/5$ دسی‌زیمنس بر متر، تیمار نمک $1/5$ دسی‌زیمنس بر متر کمترین سطح نمک بود. به‌منظور جلوگیری از تجمع بیش از حد نمک در گلدن‌ها، هر دو هفته یکبار آب شویی انجام شد. تیمار شوری، ۷ هفته به‌طول انجامید و پس از آن گلدان‌ها تا یک هفته با تیمار شاهد $1/5$ دسی‌زیمنس بر متر) آبیاری شدند (Pashangah *et al.*, 2019). در هر نوبت آبیاری، رطوبت گلدان‌ها به حد ظرفیت مزرعه رسانده شد. طی مدت قبل اعمال تیمار، همه گیاهان با محلول غذایی هوگلند ($0/5$ غلظت) تغذیه شدند. فسفیت پتاسیم ($H_2K_0_3P$) مورد استفاده در این آزمایش از شرکت موررا اسپانیا (Spain, Morera) بود. تیمار آبیاری با فسفیت پتاسیم (صفر، $1/5$ و 3 گرم در لیتر) دو بار (یک هفته قبل از تیمار شوری و سه هفته بعد از شروع تیمار شوری) اعمال شد. گیاهان تیمار شده با نمک $1/5$ دسی‌زیمنس بر متر و عدم تیمار فسفیت پتاسیم به عنوان شاهد در نظر گرفته شدند. هشت هفته پس از اتمام تنفس شوری، در انتهای آزمایش صفات زیر در گیاهان لیموترش ارزیابی شد.

شاخص‌های ریخت‌شناسی

ویژگی‌های تعداد برگ (شمارش)، طول ساقه و ریشه (خط کش)، حجم ریشه (استوانه مدرج حاوی 250 میلی‌لیتر آب) ثبت شدند.

سنجدش نشت یونی

به‌منظور سنجش نشت یونی، $0/5$ گرم برگ در لوله‌های آزمایش حاوی 15 میلی‌لیتر آب دوبار تقطیر قرار داده و به مدت 60 دقیقه در دستگاه شیکر قرار داده شدند و هدایت الکتریکی (EC_1) ثبت شد. سپس لوله‌های آزمایش به مدت 15 دقیقه در اتوکلاو قرار داده و پس از خنک شدن، مجدداً هدایت الکتریکی (EC_2) ثبت شد. میزان نشت یونی از رابطه زیر محاسبه شد (Srivastav *et al.*, 2010)

$$\frac{EC_1}{EC_2} \times 100 = \text{نشت یونی (درصد)}$$

سنجدش مالون دی‌آلدئید

به‌منظور سنجش میزان مالون دی‌آلدئید، $0/5$ گرم برگ در هاون ساییده، به آن 5 میلی‌لیتر بافر پتاسیم فسفات ($pH=7$) اضافه و سانتریفیوژ (۱۴۰۰۰ دور در دقیقه، 30 دقیقه) شد. سپس به یک میلی‌لیتر روشناور، یک میلی‌لیتر محلول ترکیبی $0/5$ درصد اسیدتیوباربیوتیک و اسید تری‌کلرواستیک اسید 20 درصد اضافه شد. محلول حاصل به مدت 30 دقیقه ابتدا در حمام آب 5 گرم (۶۵ درجه سلسیوس) و سپس در حمام یخ قرار داده شد. در نهایت جذب نمونه‌ها در طول موج 532 و 600 نانومتر با دستگاه اسپکتروفوتومتر قرائت شد و سپس میزان مالون دی‌آلدئید از رابطه زیر محاسبه شد (Kaboodkhani *et al.*, 2023).

$$MDA = \left[\frac{A_{532} - A_{600}}{QD} \times QF \right] \times DF$$

که در آن MDA: میزان مالون دی‌آلدئید، QD: قطر کووت، QF: ضریب خاموشی (155 میلی‌مolar بر سانتی‌متر) و DF: فاکتور رقت بود.

سنجدش میزان فنول و ظرفیت آنتی‌اکسیدانی

برای تعیین میزان فنول و ظرفیت آنتی‌اکسیدانی، یک گرم برگ در هاون ساییده و 4 میلی‌لیتر حلal استخراج (85 درصد متانول و 15 درصد استیک اسید) اضافه شد. بعد از گذشت 24 ساعت، نمونه‌ها سانتریفیوژ (10000 دور در دقیقه، 10 دقیقه) شدند.

فنول

برای سنجش فنول، روش فولین-سینگلتون با کمی تغییرات انجام شد (Vakili-Ghartavol and Alizadeh-Salteh, 2016).

میزان ۱/۰ گرم اسیدگالیک با متابول به حجم ۱۰۰ میلی لیتر رسانده و به آن محلول ۱۰ درصد فولین و کربنات سدیم ۷/۵ درصد اضافه شد و محلول حاصل بهمدت یک ساعت در تاریکی قرار داده و جذب آن با دستگاه اسپکتروفوتومتر در طول موج ۷۶۰ نانومتر خوانده شد.

ظرفیت آنتی اکسیدانی

به منظور سنجش ظرفیت آنتی اکسیدانی بر حسب DPPH، به ۵۰ میکرولیتر از عصاره، ۹۵۰ میکرولیتر ۱/۰ نرمال اضافه شده و محلول بهمدت ۳۰ دقیقه در تاریکی نگهداری شد. سپس جذب نمونهها با دستگاه اسپکتروفوتومتر در طول موج ۵۱۷ نانومتر خوانده شد. میزان ظرفیت آنتی اکسیدانی از رابطه زیر محاسبه شد (Vakili-Ghartavol and Alizadeh-Salteh, 2016).

$$\% \text{DPPH} = [(A_{\text{cont}} - A_{\text{samp}}) / A_{\text{cont}}] \times 100$$

که در آن A_{cont} : میزان جذب DPPH و A_{samp} : میزان جذب عصاره بود.

سنجد پروتئین

به منظور استخراج پروتئین، به ۵۰ میلی گرم از مواد گیاهی خردشده توسط ازت مایع، ۴۹۵ میکرولیتر محلول بافر استخراج ۴۰ میلی مolar بافر تریس و ۶۰ میلی مolar دی‌تیوکریتول)، ۵۰ میلی گرم پلی‌وینیل‌پیرولیدون و پنج میکرولیتر فنیل‌متان‌سولفونیل‌فلوراید ۲۰۰ میلی مolar افروده شد و پس از چند ثانیه ورتكس، نمونه‌ها سانتریفیوژ (۸۰۰۰ دور در دقیقه، ۱۵ دقیقه) شد. آنگاه ۳۰۰ میکرولیتر از فاز رویی با ۹۰۰ مایکرولیتر استون سرد (حاوی ۱۰٪ تری‌کلرواستیک اسید) و ۰/۰۷٪ دی‌تیوکریتول مخلوط و بهمدت یک شب در دمای ۲۰-۲۰ درجه سلسیوس قرار داده شدند. پس از خشک شدن رسوب، ۱۰۰ مایکرولیتر محلول برآورده به هر فالکون اضافه شد تا پروتئین‌های استخراج شده در این بافر حل شود. سپس تا زمان سنجش پروتئین‌های کل در دمای ۲۰ درجه سانتی‌گراد نگهداری شدند (Kaboodkhani et al., 2023). پروتئین آلبومین سرم گاوی (۱، ۲، ۴، ۶، ۸، ۱۰ و ۱۴ میلی گرم در میلی لیتر) به عنوان استاندارد مورد استفاده قرار گرفت.

سنجد فعالیت آنزیم‌های سوبراکسید دیسموتاز، کاتالاز، آسکوربات پراکسیداز، گایاکول پراکسیداز،

پلی‌فنول‌اکسیداز و فنیل آلانین آمونیالیاز

جهت تهیه عصاره آنزیمی، ۰/۰ گرم برگ با ۵۰۰ میکرولیتر بافر استخراج (تریس ۱/۵ میلی مolar و pH=۷/۵) و ۵۰ میلی گرم پلی‌وینیل‌پیرولیدون، در هاون چینی ساییده شد و سپس نمونه‌ها سانتریفیوژ (۱۴۰۰ دور در دقیقه، ۱۰ دقیقه) شدند. محلول روشنوار به عنوان عصاره استخراج شده برای سنجش فعالیت آنزیم‌ها استفاده شد.

آنزیم فنیل آلانین آمونیالیاز (PAL)

سنجد فعالیت آنزیم از روش Saberi-Riseh و همکاران (۲۰۲۰) انجام شد. به ۳۰ میکرولیتر عصاره آنزیمی، یک میلی لیتر بافر استخراج و یک میلی لیتر L-فنیل آلانین ۱۲ میلی مolar اضافه شد. جذب نمونه‌ها توسط دستگاه اسپکتروفوتومتر در طول موج ۲۹۰ nm خوانده شد.

آنزیم سوبراکسید دیسموتاز (SOD)

برای سنجش این آنزیم ۱۰۰ میکرولیتر عصاره، با مخلوط واکنش (بافر فسفات پتاسیم ۵۰ میلی مolar، متیونین ۱۳ میلی مolar، نیتروبلوترازولیوم ۷۵ میلی مolar، ریبوفلاوین ۲ میکرومolar و ۱/۰ میلی مolar EDTA) به حجم ۳ میلی لیتر رسانده شد و نمونه‌ها بهمدت ۳۰ دقیقه زیر نور فلورسنت (۳۵۰ میکرومول فوتون بر مترمربع بر ثانیه) قرار داده شدند. جذب آن‌ها توسط دستگاه اسپکتروفوتومتر در طول موج ۵۶۰ نانومتر خوانده شد (Srivastav et al., 2010).

آنزیم کاتالاز (CAT)

برای سنجش فعالیت این آنزیم ۱۰۰ میکرولیتر از عصاره، ۳ میلی لیتر بافر فسفات ۵۰ میلی مolar و ۵ میکرولیتر پراکسیدهیدروژن ۳۰ درصد اضافه شد. جذب نمونه‌ها در طول موج ۲۴۰ نانومتر خوانده شد (Srivastav et al., 2010).

آنزیم گایاکول پراکسیداز (GPX)

برای سنجش این آنزیم، ۳ میلی‌لیتر بافر فسفات (pH=۷) ۵۰ میلی‌مولار، ۱۰ میکرولیتر پراکسید هیدروژن ۳۰ درصد، ۳ میکرولیتر محلول گایاکول ۲۰۰ میلی‌مولار و ۱۰۰ میکرولیتر عصاره آنزیمی استفاده شد. جذب نمونه‌ها در طول موج ۴۷۰ نانومتر توسط دستگاه اسپکتوفوتومتر خوانده شد (Saberi-Riseh *et al.*, 2020).

آنزیم پلی‌فنول‌اکسیداز (PPO)

برای این منظور، ۵۰ میکرولیتر پیروگالول ۱۰۰ میلی‌مولار، ۳ میلی‌لیتر از بافر فسفات (pH=۷) و ۵۰ میکرولیتر عصاره آنزیمی با هم ترکیب شدند و با گذشت زمان واکنش، روند افزایش در میزان جذب مشاهده شد (Saberi-Riseh *et al.*, 2020). میزان فعالیت آنزیم بر حسب مقادیر اکسید شده پیروگالول در طول موج ۴۲۰ نانومتر محاسبه شد.

آنزیم آسکوربات‌پراکسیداز (APX)

به منظور تعیین فعالیت این آنزیم، از ۶۰۰ میکرولیتر EDTA ۱/۰ میلی‌مولار، ۱/۵ میلی‌لیتر بافر فسفات ۵۰ میلی‌مولار (pH=۷)، ۴۰۰ میکرولیتر آسکوربیک اسید ۱/۰۰ میلی‌مولار، ۴۰۰ میکرولیتر H₂O₂ ۱/۰ میلی‌مولار و ۱۰۰ میکرولیتر عصاره آنزیمی استفاده شد و جذب نمونه‌ها در طول موج ۲۹۰ nm خوانده شد (Srivastav *et al.*, 2010).

واکاوی آماری داده‌ها

آزمایش به صورت فاکتوریل در قالب طرح کاملاً تصادفی در سه تکرار (هر تکرار شامل ۳ گلدان) اجرا شد. فاکتورها شامل تنش شوری ۱/۵ (شاهد)، ۳، ۴/۵ و ۶ دسی‌زیمنس بر متر و فسفیت پتابسیم (صفر، ۱/۵ و ۳ گرم در لیتر) بود. نرمال بودن داده‌ها با روش Shapiro-Wilk صورت گرفت. آزمون توکی برای مقایسه میانگین (۰.۰۱<P<۰.۰۵) انجام شد. آنالیز آماری داده‌ها با نرم افزار SAS Ver.9.1.3 انجام شد. همچنین تصاویر با کمک برنامه EXCEL ترسیم شدند.

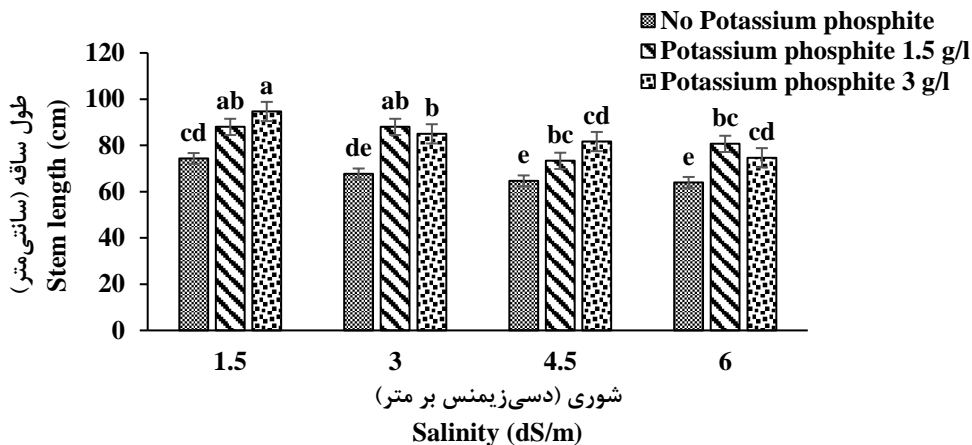
نتایج

طول ساقه

نتایج به دست آمده نشان داد که با افزایش سطح شوری از ۱/۵ تا ۶ دسی‌زیمنس بر متر روند کاهشی در طول ساقه مشاهده شد ولی کاربرد فسفیت پتابسیم در هر سطح شوری منجر به بهبود طول ساقه شد. تیمار ۳ گرم در لیتر فسفیت پتابسیم در سطح ۱/۵ دسی‌زیمنس بر متر نمک سبب افزایش ۳۲/۳۸ درصدی طول ساقه نسبت به تیمار شوری ۶ دسی‌زیمنس بر متر و بدون اعمال فسفیت پتابسیم شد. بیشترین طول ساقه (۹۴/۶۶ سانتی‌متر) در تیمار شوری ۱/۵ دسی‌زیمنس بر متر و سطح ۳ گرم در لیتر فسفیت پتابسیم مشاهده شد و کمترین طول ساقه با میانگین (۶۴ سانتی‌متر) در تیمار نمک ۶ دسی‌زیمنس بر متر و بدون اعمال تیمار فسفیت پتابسیم مشاهده شد (شکل ۱).

تعداد برگ

با افزایش سطوح شوری، تعداد برگ در گیاه لیموترش نسبت به شاهد کاهش یافت. نمک ۶ دسی‌زیمنس بر متر سبب کاهش ۲۵/۲۷ درصدی تعداد برگ نسبت به نمک ۱/۵ دسی‌زیمنس بر متر شد و کمترین تعداد برگ (۱۳۶/۳۳) در نمک ۶ دسی‌زیمنس بر متر مشاهده شد، هر چند که با شوری ۴/۵ و ۳ دسی‌زیمنس بر متر اختلاف آماری معنی‌داری نداشت. بیشترین تعداد برگ (۱۸۲/۴۴) مربوط به تیمار ۱/۵ دسی‌زیمنس بر متر بود. کاربرد تیمار فسفیت پتابسیم سبب افزایش تعداد برگ در لیموترش شد. تیمار ۳ گرم در لیتر دارای بیشترین تعداد برگ (۱۸۳/۲۵) و تیمار بدون فسفیت پتابسیم دارای کمترین تعداد برگ (۱۲۱/۱۷) بود. تیمار فسفیت پتابسیم ۳ گرم در لیتر نیز سبب افزایش ۳۳/۸۷ درصدی تعداد برگ نسبت به تیمار بدون فسفیت پتابسیم شد (جدول ۱).



شکل ۱- برهمکنش تنفس شوری و فسفیت پتاسیم بر طول ساقه در لیموترش. مقادیر، میانگین سه تکرار و حروف یکسان بیانگر عدم اختلاف معنی‌دار با آزمون توکی ($P < 0.05$) است.

Fig. 1. The interaction effect of salt stress and phosphitepotassium on stem length in lime. Values are the average of three repetitions and the same letters indicate no significant difference with Tukey's test ($P < 0.05$).

طول ریشه
در پژوهش حاضر با افزایش سطوح شوری از ۱/۵ تا ۶ دسی‌زیمنس بر متر روند کاهشی در صفت طول ریشه مشاهد شد. نمک ۶ دسی‌زیمنس بر متر سبب کاهش ۳۸/۱۶ درصدی طول ریشه نسبت به نمک ۱/۵ دسی‌زیمنس بر متر شد. گیاهان تیمار شده با نمک ۶ دسی‌زیمنس بر متر (۳۱/۱۹ سانتی‌متر) و ۱/۵ دسی‌زیمنس بر متر (۵۰/۴۴) به ترتیب کمترین و بیشترین مقادیر طول ریشه را به خود اختصاص دادند. کاربرد فسفیت پتاسیم ۱/۵ گرم در لیتر سبب افزایش ۱۱/۰۵ درصدی طول ریشه نسبت به گیاهان بدون فسفیت پتاسیم شد. این گیاهان دارای بیشترین طول ریشه (۴۳/۳۱ سانتی‌متر) بودند. گیاهانی که فسفیت پتاسیم دریافت نکرده بودند، دارای کمترین طول ریشه (۳۸/۵۲ سانتی‌متر) بودند (جدول ۱).

جدول ۱- تاثیر سطوح شوری و فسفیت پتاسیم بر شاخص‌های ریخت‌شناسی و بیوشیمیائی لیموترش.

Table 1. Effects of salinity levels and potassium phosphate ON morphological and biochemical indicators of lime.

شوری Salinity (dS/m)	تعداد برگ Leaf number	طول Ryseh Root length (cm)	حجم Ryseh Root volume (cm ³)	مالون‌دی‌آلدید MDA (µmol/gDW)	فنول Phenol (mg Galic acid/gFW)	ظرفیت آنتی‌اکسیدانی DPPH (%)	پروتئین Protein (µg/ml)	گایاکول‌پراکسیداز GPX (mg /pr)
1.5	182.44 ^a	50.44 ^a	35.60 ^a	0.21 ^b	24.12 ^b	87.07 ^b	16.91 ^a	0.21 ^b
3	149.33 ^b	43.36 ^b	29.44 ^b	0.24 ^{ab}	26.34 ^a	88.69 ^a	13.94 ^b	0.24 ^{ab}
4.5	137.56 ^b	38.41 ^c	23.11 ^c	0.25 ^{ab}	26.04 ^a	89.27 ^a	14.94 ^b	0.27 ^a
6	136.33 ^b	31.19 ^d	18.55 ^d	0.32 ^a	27.15 ^a	89.49 ^a	13.71 ^b	0.29 ^a

فسفیت پتاسیم
Potassium phosphate (g/l)

0	121.17 ^c	38.52 ^c	24.5 ^c	0.32 ^a	23.48 ^c	88.40 ^c	11.45 ^c	0.13 ^c
1.5	149.83 ^b	43.31 ^a	29.0 ^a	0.19 ^c	27.98 ^a	90.66 ^a	15.05 ^b	0.25 ^b
3	183.25 ^a	40.72 ^b	26.5 ^b	0.26 ^b	26.28 ^b	89.19 ^b	18.15 ^a	0.38 ^a

مقادیر، میانگین سه تکرار و حروف یکسان بیانگر عدم اختلاف معنی‌دار با آزمون توکی ($P < 0.05$) است.

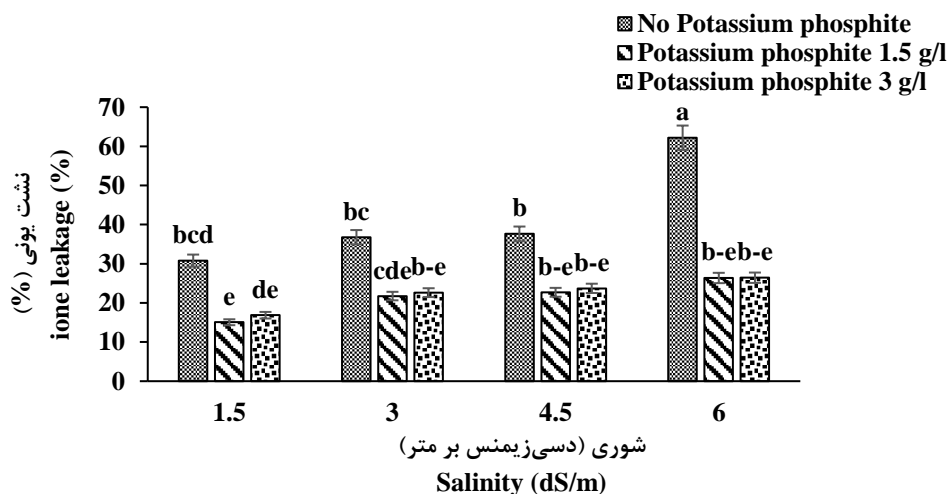
Values are the average of three repetitions and the same letters indicate no significant difference with Tukey's test ($P < 0.05$).

حجم ریشه

با توجه به نتایج، با افزایش سطوح شوری حجم ریشه در گیاه لیموترش کاهش یافت. کمترین حجم ریشه (۱۸/۵۵ مترمکعب) در گیاهان آبیاری شده با نمک ۶ دسیزیمنس بر متر و بیشترین حجم ریشه (۳۵/۶۰ مترمکعب) در گیاهان آبیاری شده با نمک ۱/۵ دسیزیمنس بر متر بود. نمک ۶ دسیزیمنس بر متر سبب کاهش ۴۷/۸ درصدی حجم ریشه نسبت به نمک ۱/۵ دسیزیمنس بر متر شد. تیمار فسفیت پتابسیم ۱/۵ گرم در لیتر منجر به افزایش ۱۵/۵ درصدی حجم ریشه شد. به طوری که بیشترین حجم ریشه (۲۴/۵ مترمکعب) مربوط به تیمار فسفیت پتابسیم ۱/۵ گرم در لیتر و کمترین میزان این صفت (۲۴/۵ مترمکعب) مربوط به گیاهان بدون فسفیت پتابسیم بود (جدول ۱).

نشت یونی

نتایج مقایسه میانگین داده‌ها نشان داد که تنش شوری در سطوح بالاتر سبب افزایش نشت یونی نسبت به گیاهان شاهد مشاهده شد و کاربرد فسفیت پتابسیم در شرایط تنش شوری سبب کاهش این صفت نسبت به گیاهان شاهد شد. بیشترین نشت یونی (۶۲/۱۹ درصد) در تیمار شوری ۶ دسیزیمنس بر متر و بدون اعمال فسفیت پتابسیم مشاهده شد و کمترین نشت یونی (۱۵/۰۵ درصد) در تیمار فسفیت پتابسیم در غلظت ۱/۵ گرم در لیتر و شوری ۱/۵ دسیزیمنس بر متر مشاهده شد. به طور کلی تیمار فسفیت پتابسیم در غلظت ۱/۵ گرم در لیتر منجر به کاهش ۷۵/۷ درصدی نشت یونی نسبت به گیاهان شاهد شد (شکل ۲). گیاهانی که فسفیت پتابسیم دریافت کرده بودند در سطوح ۴/۵ و ۶ دسیزیمنس بر متر اختلاف معنی‌داری در نشت یونی با هم نداشتند.



شکل ۲- برهمکنش تنش شوری و فسفیت پتابسیم بر نشت یونی در لیموترش. مقادیر، میانگین سه تکرار و حروف یکسان بیانگر عدم اختلاف معنی‌دار با آزمون توکی ($P < 0.05$) است.

Fig. 2. The mutual effect of salt stress and phosphitepotassium on ion leakage in lime. Values are the average of three repetitions and the same letters indicate no significant difference with Tukey's test ($P < 0.05$).

مالون دی‌آلدئید

اثرات ساده شوری و فسفیت پتابسیم بر میزان مالون دی‌آلدئید نشان داد که با افزایش سطح تنش نمک میزان مالون دی‌آلدئید نسبت به گیاهان شاهد روندی افزایشی پیدا کرد. نتایج نشان داد که سطح شوری ۶ دسیزیمنس بر متر منجر به افزایش ۳۴/۳ درصدی مالون دی‌آلدئید در مقایسه با شوری ۱/۵ دسیزیمنس بر متر شد. بیشترین مالون دی‌آلدئید (۰/۳۲ میکرومول بر گرم وزن تر) در گیاهان آبیاری شده با نمک ۶ دسیزیمنس بر متر بود و کمترین مالون دی‌آلدئید (۰/۲۱ میکرومول بر گرم وزن تر) در شوری ۱/۵ دسیزیمنس بر متر مشاهده شد. همچنین اختلاف معنی‌داری بین شوری در سطح ۴/۵ و ۳ دسیزیمنس بر متر مشاهده نشد (جدول ۱). کاربرد تیمار فسفیت پتابسیم سبب کاهش مالون دی‌آلدئید نسبت به گیاهان بدون فسفیت پتابسیم گزارش شد. و کمترین مالون دی‌آلدئید (۰/۱۹ میکرومول بر گرم وزن تر) در تیمار ۱/۵ گرم در لیتر فسفیت پتابسیم مشاهده شد.

و بیشترین مالون دی آلدید (۰/۳۲) در تیمار بدون کاربرد فسفیت پتابسیم بود. در نهایت کاربرد تیمار ۱/۵ گرم در لیتر فسفیت پتابسیم موجب کاهش ۴۰/۶ درصدی این صفت نسبت به گیاهان بدون اعمال فسفیت پتابسیم مشاهده شد (جدول ۱).

فنول

نتایج مقایسه میانگین اثرات شوری و فسفیت پتابسیم بر فنول مشخص کرد که با افزایش سطح نمک از ۱/۵ تا ۶ دسی زیمنس بر مترا، بر میزان فنول افزوده شد. در تیمار ۶ دسی زیمنس بر مترا از نمک، افزایش ۱۱/۱۶ درصدی فنول در مقایسه با گیاهان آبیاری شده با نمک ۱/۵ دسی زیمنس بر مترا مشاهده شد. بیشترین فنول ۲۷/۱۵ میلی گرم اسید گالیک در گرم وزن تر) در شوری ۶ دسی زیمنس بر مترا ثبت شد که با شوری ۳ و ۴/۵ دسی زیمنس بر مترا اختلاف معنی داری نداشت. کمترین محتوای فنول ۲۴/۱۲ میلی گرم اسید گالیک در گرم وزن تر) نیز به گیاهان آبیاری شده با نمک ۱/۵ دسی زیمنس بر مترا مشاهده شد (جدول ۱). همچنین نتایج نشان داد که میزان فنول با تیمار فسفیت پتابسیم (۱/۵ گرم در لیتر)، افزایش ۱۶/۰۸ درصدی نسبت به گیاهان شاهد داشت. بیشترین میزان فنول ۲۷/۹۸ میلی گرم اسید گالیک در گرم وزن تر) در تیمار ۱/۵ گرم در لیتر فسفیت پتابسیم و کمترین میزان آن (۲۳/۴۸ میلی گرم اسید گالیک در گرم وزن تر) در تیمار بدون کاربرد فسفیت پتابسیم مشاهده شد (جدول ۱).

ظرفیت آنتی اکسیدانی

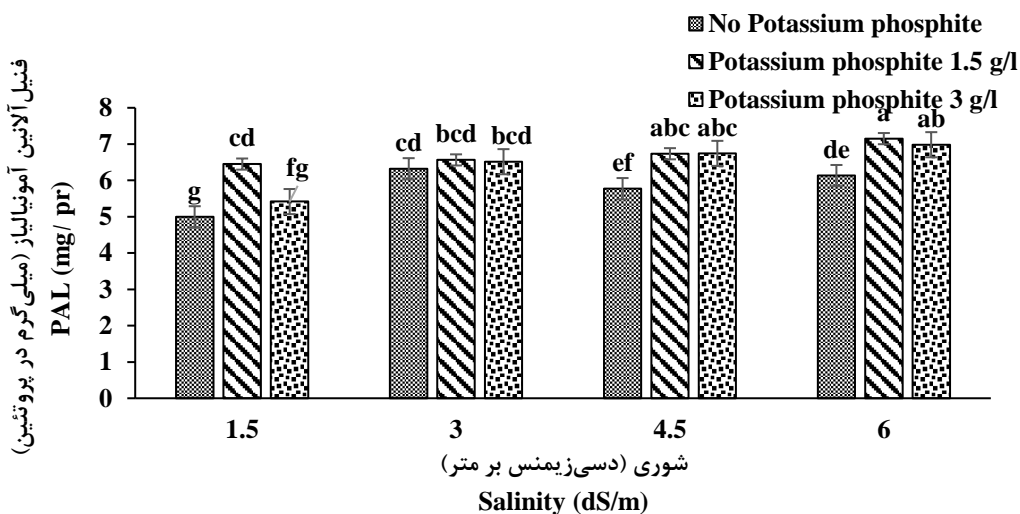
بر اساس نتایج، تیمار کلرید سدیم در سطح ۶ دسی زیمنس بر مترا منجر به افزایش (۲/۷ درصدی) ظرفیت آنتی اکسیدانی در مقایسه با شوری ۱/۵ دسی زیمنس بر مترا مشاهده شد، هرچند که با شوری ۳ و ۴/۵ دسی زیمنس بر مترا اختلاف معنی داری نداشت. بیشترین میزان ظرفیت آنتی اکسیدانی (۸۹/۴۹ درصد) در شوری ۶ دسی زیمنس بر مترا و کمترین میزان آن (۸۷/۰۷ درصد) در تیمار شوری ۱/۵ دسی زیمنس بر مترا مشاهده شد (جدول ۱). همچنین فسفیت پتابسیم (۱/۵ گرم در لیتر) منجر به افزایش ۲/۴ درصدی ظرفیت آنتی اکسیدانی نسبت به گیاهان شاهد شد. بیشترین و کمترین میزان ظرفیت آنتی اکسیدانی (۹۰/۶۶ و ۸۸/۴ درصد) به ترتیب به تیمار ۱/۵ و صفر گرم در لیتر فسفیت پتابسیم تعلق داشت (جدول ۱).

پروتئین

تیمار نمک از میزان پروتئین برگ لیموترش کاست. نمک ۶ دسی زیمنس بر مترا باعث کاهش ۱۸/۹ درصدی پروتئین نسبت به تیمار تنفس شوری ۱/۵ دسی زیمنس بر مترا شد. بیشترین میزان پروتئین ۱۶/۹۱ میکرو گرم در میلی لیتر) در شوری ۱/۵ دسی زیمنس بر مترا و کمترین میزان پروتئین ۱۳/۷۱ میکرو گرم بر میلی لیتر) در شوری ۶ دسی زیمنس بر مترا مشاهده شد، هر چند که با سطوح ۳ و ۴/۵ دسی زیمنس بر مترا اختلاف آماری معنی داری نداشت (جدول ۱). فسفیت پتابسیم (۳ گرم در لیتر) منجر به افزایش ۳۶/۹ درصدی میزان پروتئین نسبت به گیاهان بدون کاربرد فسفیت پتابسیم شد. به طوری که بیشترین میزان پروتئین ۱۸/۱۵ میکرو گرم بر میلی لیتر) در تیمار ۳ گرم در لیتر فسفیت پتابسیم و کمترین میزان پروتئین ۱۱/۴۵ درصد) در تیمار بدون کاربرد فسفیت پتابسیم مشاهده شد (جدول ۱).

آنزیم فنیل آلانین آمونیالیاز (PAL)

نتایج مقایسه میانگین نشان داد که با افزایش تنفس شوری میزان فعالیت آنزیم فنیل آلانین آمونیالیاز روند افزایشی نسبت به گیاهان شاهد داشت به طوری که نمک ۶ دسی زیمنس بر مترا سبب افزایش ۱۸/۵۹ درصدی آنزیم نسبت به شوری ۱/۵ دسی زیمنس بر مترا در گیاهان شاهد شد. همچنین کاربرد فسفیت پتابسیم سبب بهبود بهتر این آنزیم در شرایط تنفس شوری نسبت به گیاهان شاهد مشاهده شد. کاربرد فسفیت پتابسیم در غلظت ۱/۵ گرم در لیتر با سطح شوری ۶ دسی زیمنس بر مترا منجر به افزایش ۳۰/۲۰ درصدی این آنزیم (۷/۱۵ میلی گرم در پروتئین) نسبت به گیاهان شاهد با تنفس شوری ۱/۵ دسی زیمنس بر مترا (۴/۹۹ میلی گرم پروتئین) شد. فعالیت این آنزیم مربوط در دو سطح فسفیت پتابسیم در سطح شوری ۳ و ۴/۵ دسی زیمنس بر مترا اختلاف معنی داری باهم نداشتند (شکل ۳).

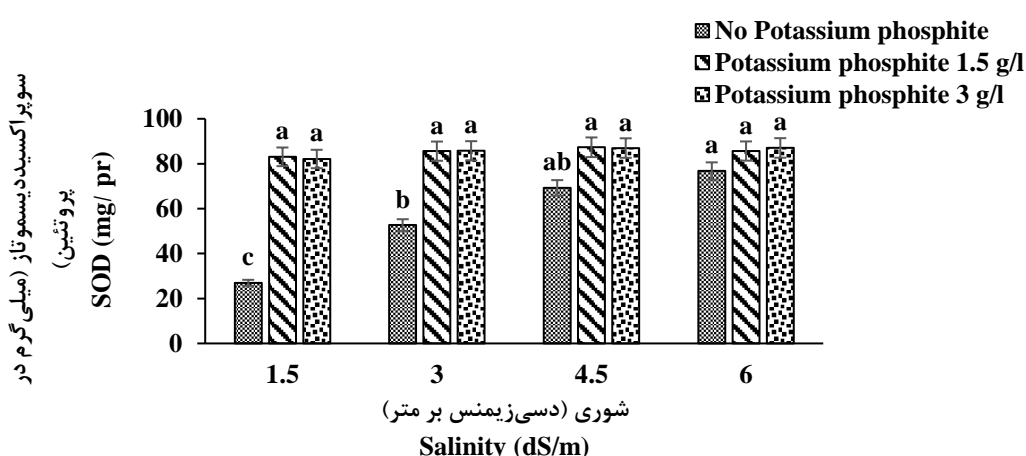


شکل ۳- برهمکنش تنش شوری و فسفیت پتاسیم بر فعالیت آنزیم فنیل‌آلانین آمونیالیاز در لیموترش. مقادیر، میانگین سه تکرار و حروف یکسان بیانگر عدم اختلاف معنی‌دار با آزمون توکی ($P < 0.05$) است.

Fig. 3. Interaction between salinity stress and phosphite potassium on phenylalanine ammonialyase enzyme activity in lime. Values are the average of three repetitions and the same letters indicate no significant difference with Tukey's test ($P < 0.05$).

آنزیم سوپراکسید دیسموتاز (SOD)

با افزایش سطح نمک از ۱/۵ تا ۶ دسی‌زیمنس بر متر، افزایش ۶۴/۸۶ درصدی در فعالیت آنزیم سوپراکسید دیسموتاز مشاهده شد. همچنین استفاده از ترکیب فسفیت پتاسیم در تمامی سطوح شوری باعث افزایش فعالیت این آنزیم شد. بیشترین فعالیت این آنزیم (۸۷/۳۳ میلی‌گرم پروتئین) مربوط به تیمار ۱/۵ گرم در لیتر فسفیت پتاسیم در سطح شوری ۴/۵ دسی‌زیمنس بر متر (۶۹/۱۱ درصد افزایش فعالیت آنزیم نسبت به گیاهان شاهد) و کمترین فعالیت آنزیم (۲۶/۹۷ میلی‌گرم پروتئین) مربوط به تیمار بدون کاربرد فسفیت پتاسیم در سطح ۱/۵ دسی‌زیمنس بر متر بود (شکل ۴).

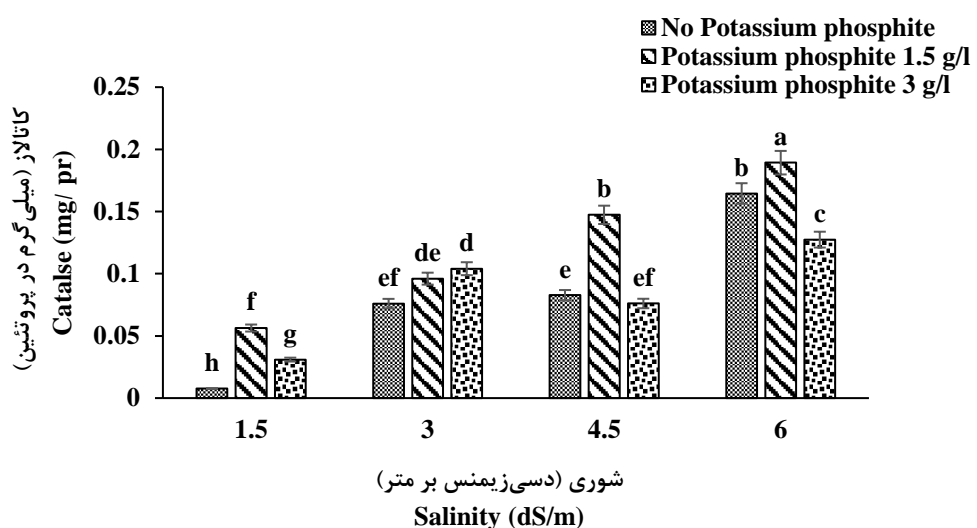


شکل ۴- برهمکنش تنش شوری و فسفیت پتاسیم بر فعالیت آنزیم سوپراکسید دیسموتاز در لیموترش مقادیر، میانگین سه تکرار و حروف یکسان بیانگر عدم اختلاف معنی‌دار با آزمون توکی ($P < 0.05$) است.

Fig. 4. Interaction between salinity stress and potassium phosphite on superoxide dismutase enzyme activity in lime. Values are the average of three repetitions and identical letters indicate no significant difference with Tukey's test ($P < 0.05$).

آنزیم کاتالاز

افزایش نمک از ۱/۵ تا ۶ دسی‌زیمنس بر متر سبب افزایش ۹۵/۲۵ درصدی در فعالیت آنزیم کاتالاز شد. همچنین استفاده از ترکیب فسفیت پتاسیم در تمامی سطوح شوری باعث افزایش فعالیت این آنزیم شد. بیشترین فعالیت آنزیم (۰/۱۸ میلی‌گرم در پروتئین) مربوط به تیمار ۱/۵ گرم در لیتر فسفیت پتاسیم در سطح شوری ۶ دسی‌زیمنس بر متر و کمترین فعالیت مربوط به تیمار بدون کاربرد فسفیت پتاسیم در سطح ۱/۵ دسی‌زیمنس بر متر بود. گیاهان تیمار شده با نمک ۶ دسی‌زیمنس بر متر در سطح ۱/۵ گرم در لیتر فسفیت پتاسیم دارای ۹۵/۹۷ درصد فعالیت بیشتر آنزیم در مقایسه با گیاهان تیمار شده با نمک ۱/۵ دسی‌زیمنس بر متر در سطح بدون کاربرد فسفیت پتاسیم شد (شکل ۵).



شکل ۵- برهمنکش تنش شوری و فسفیت پتاسیم بر فعالیت آنزیم کاتالاز در لیموترش. مقادیر، میانگین سه تکرار و حروف یکسان بیانگر عدم اختلاف معنی‌دار با آزمون توکی ($P < 0.05$) است.

Fig. 5. The interaction effect of salinity stress and potassium phosphite on catalase enzyme activity in lime. Values are the average of three repetitions and identical letters indicate no significant difference with Tukey's test ($P < 0.05$).

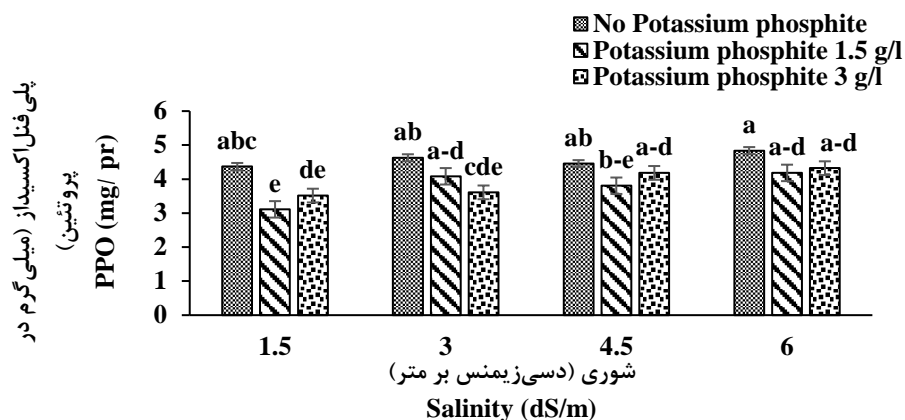
آنزیم گایاکول پراکسیداز

نتایج به دست آمده نشان داد که نمک ۶ دسی‌زیمنس بر متر افزایش ۲۷/۵ درصدی در فعالیت آنزیم گایاکول پراکسیداز را باعث شد. بیشترین فعالیت این آنزیم (۰/۲۹ میلی‌گرم در پروتئین) در نمک ۶ دسی‌زیمنس بر متر بود که با شوری ۴/۵ دسی‌زیمنس بر متر اختلاف آماری معنی‌داری نداشت. کمترین فعالیت آنزیم (۰/۲۱ میلی‌گرم در پروتئین) نیز به نمک ۱/۵ دسی‌زیمنس بر متر تعلق داشت (جدول ۱). تیمار گیاهان با فسفیت پتاسیم باعث افزایش این آنزیم نسبت به گیاهان شاهد شد به طوری که گیاهان تیمار شده با غلظت ۳ گرم در لیتر از فسفیت پتاسیم ۶۵/۷ درصد افزایش فعالیت آنزیم در مقایسه با گیاهان شاهد را داشتند. بیشترین میزان فعالیت این آنزیم (۰/۳۸ میلی‌گرم در پروتئین) در تیمار ۳ گرم در لیتر فسفیت پتاسیم و کمترین فعالیت (۰/۱۳ میلی‌گرم در پروتئین) در تیمار بدون کاربرد فسفیت پتاسیم مشاهده شد (جدول ۱).

آنزیم پلی‌فنول اکسیداز

نتایج نشان داد که شوری در سطوح بالاتر سبب افزایش آنزیم پلی‌فنول اکسیداز و کاربرد فسفیت پتاسیم در شرایط تنش شوری سبب کاهش فعالیت این آنزیم شد. بیشترین فعالیت آنزیم پلی‌فنول اکسیداز (۴/۸۳ میلی‌گرم پروتئین) در تیمار شوری ۶ دسی‌زیمنس بر متر در گیاهانی که فسفیت پتاسیم را دریافت نکرده بودند، مشاهده شد. کمترین فعالیت آنزیم (۳/۱۱ میلی‌گرم پروتئین) مربوط به تیمار ۱/۵ گرم در لیتر فسفیت پتاسیم در نمک ۱/۵ دسی‌زیمنس بر متر مشاهده شد. به طور کلی تیمار

۱/۵ گرم در لیتر فسفیت پتاسیم در سطح شوری ۱/۵ دسیزیمنس بر متر منجر به کاهش ۳۵/۶ درصدی فعالیت پلی فنول اکسیداز نسبت به تیمار شوری ۶ دسیزیمنس بر متر در سطح بدون فسفیت پتاسیم شد (شکل ۶).

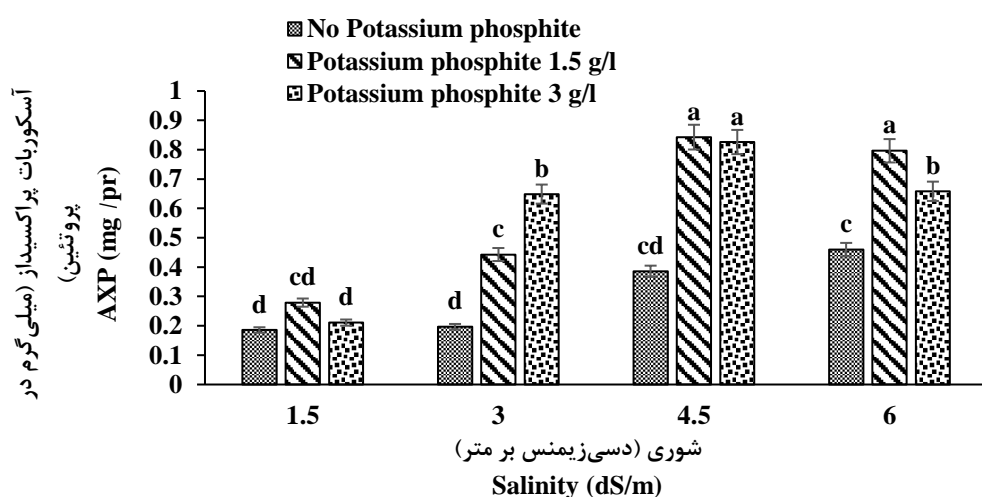


شکل ۶- برهمکنش تنش شوری و فسفیت پتاسیم بر فعالیت آنزیم پلی فنول اکسیداز لیموترش. مقادیر، میانگین سه تکرار و حروف یکسان بیانگر عدم اختلاف معنی‌دار با آزمون توکی ($P < 0.05$) است.

Fig. 6. The mutual effect of salt stress and potassium phosphite on the activity of lime polyphenol oxidase enzyme. Values are the average of three repetitions and identical letters indicate no significant difference with Tukey's test ($P < 0.05$).

آنزیم آسکوربات پراکسیداز

نتایج مقایسه میانگین نشان داد که با افزایش سطح نمک بر میزان فعالیت آنزیم آسکوربات پراکسیداز افزوده شد به طوری که تیمار نمک ۶ دسیزیمنس بر متر افزایش ۶۰ درصدی در فعالیت آنزیم با مقایسه با نمک ۱/۵ دسیزیمنس بر متر مشاهده شد. همچنانی کاربرد فسفیت پتاسیم سبب بهبود فعالیت این آنزیم در شرایط تنش شوری شد. تیمار فسفیت پتاسیم ۱/۵ گرم در لیتر در سطح نمک ۴/۵ دسیزیمنس بر متر منجر به افزایش ۷۸/۵ درصدی فعالیت آنزیم آسکوربات پراکسیداز نسبت به گیاهان شاهد در سطح شوری ۱/۵ دسیزیمنس بر متر شد. بیشترین فعالیت آنزیم آسکوربات پراکسیداز (۰/۸۴ میلی گرم پروتئین) مربوط به تیمار فسفیت پتاسیم ۱/۵ گرم در لیتر و نمک ۴/۵ دسیزیمنس بر متر بود که با تیمار ۳ گرم در لیتر فسفیت پتاسیم در همان سطح شوری اختلاف معنی‌داری نداشت. کمترین فعالیت آنزیم (۰/۱۸ میلی گرم پروتئین) نیز به تیمار نمک ۱/۵ دسیزیمنس بر متر در گیاهان بدون فسفیت پتاسیم تعلق داشت. (شکل ۷).



شکل ۷- برهمکنش تنش شوری و فسفیت پتاسیم بر فعالیت آنزیم آسکوربات پراکسیداز لیموترش. مقادیر، میانگین سه تکرار و حروف یکسان بیانگر عدم اختلاف معنی‌دار با آزمون توکی ($P < 0.05$) است.

Fig. 7. The interaction effect of salt stress and potassium phosphite on the activity of lime ascorbic peroxidase enzyme. Values are the average of three repetitions and identical letters indicate no significant difference with Tukey's test ($P < 0.05$).

بحث

شوری سبب تغییرات ساختاری شامل کاهش طول ریشه، کاهش شاخصاره، کاهش تعداد دستجات آوندی و افزایش سلول‌های پارانشیمی در گیاهان می‌شود. گیاهان با افزایش سطح ریشه به شاخصاره و جذب بهتر آب، با شرایط تنش مواجه می‌شوند. در تنش شدید اما، ریشه به تدریج ضعیف شده و در نهایت از بین خواهد رفت (Azizi et al., 2021). تجمع بیش از حد Na^+ در بافت‌های رویشی گیاهان مورینگا (*Moringa oleifera*) با آسیب به برگ و کاهش رشد ساقه‌های آن‌ها همراه بود (Azeem et al., 2023). شوری (۱۵ دسی‌زیمنس بر متر) سبب کاهش تعداد برگ، طول ریشه و محتوای آب نسبی برگ در گیاه پسته شد (Yazdi Sajjadi et al., 2020). همچنین تنش شوری باعث کاهش تعداد برگ و طول شاخصاره در گیاه زیتون شده است (Hasani et al., 2021). شوری شدید، باعث کاهش رشد ریشه، کلروز، نکروز و ریزش برگ و در نهایت مرگ درختان مركبات شده است (Syvertsen and Garcia-Sanchez, 2014). در پژوهش حاضر نیز، شوری موجب کاهش رشد رویشی در گیاه لیمو ترش شد و تیمار ۶ دسی‌زیمنس بر متر، بیشترین کاهش در طول ساقه، تعداد برگ، طول و حجم ریشه را باعث شد.

پتانسیم با تحریک ساقه‌های قوی، افزایش رشد و همچنین افزایش تولید متابولیت‌های ثانویه به بهبود رشد گیاهان مواجه شده با تنش کمک می‌کند. کاربرد پتانسیم با افزایش نسبت پتانسیم به سدیم، موجب بهبود عملکرد و رشد در مركبات می‌شود (Uthman and Garba, 2023). در پژوهشی بر نارنج سه برگ (*Poncirus trifoliata*) در مواجهه با تنش شوری، کود پتانسیمی ۱۵ میلی‌گرم بر لیتر، فتوسنتر برگ را با افزایش رنگیزهای فتوسنتری بهمیزان ۳۰ درصد افزایش داده، از زرد شدن و سوختن برگ‌ها تحت تنش شوری جلوگیری کرده و باعث افزایش رشد رویشی شد (Zhang et al., 2023 a). کاربرد فسفیت پتانسیم در گندم نیز با افزایش تحمل گیاه به تنش غیرزیستی، موجب افزایش رشد ریشه، افزایش رشد شاخصاره و افزایش فتوسنتر شد. فسفیت پتانسیم با بهبود جذب عناصر فسفر و پتانسیم، فتوسنتر را افزایش داده و از این طریق موجب بهبود رشد شاخصاره و ریشه می‌شود (Mohammed et al., 2022). در پژوهش حاضر نیز، کاربرد فسفیت پتانسیم سبب بهبود رشد رویشی لیموترش شد. در صورت بروز تنش‌های غیرزیستی، پراکسیدید هیدروژن با رادیکال سوپراکسید وارد واکنش شده و رادیکال‌های هیدروکسیل را تشکیل می‌دهد. این رادیکال‌ها از طریق واکنش با گروه‌های متیلن اسیدهای چرب غیراشبع باعث پراکسیداسیون لیپیدی غشا می‌شود (Slama et al., 2015). مالون دی‌آلدئید یکی از مهم‌ترین محصولات پراکسیداسیون لیپید غشایی و نشان‌دهنده میزان آسیب به سیستم غشایی تحت تنش‌های زیستی و غیرزیستی است. پراکسیداسیون غشا همچنین باعث نشت یونی می‌شود. تنش شوری در کتان (L. *Linum usitatissimum*) باعث پراکسیداسیون لیپیدی، تجمع قندهای محلول، پرولین و افزایش فعالیت آنزیم‌های آنتی‌اکسیدانی شد (Singh et al., 2021). همچنین افزایش مالون دی‌آلدئید در ژنوتیپ‌های مركبات در شرایط تنش شوری گزارش شده است (Gulain et al., 2014). در آزمایش حاضر نیز، تنش شوری با افزایش نشت یونی و مالون دی‌آلدئید در گیاه لیموترش همراه بود.

کاربرد پتانسیم در گیاهان با محدود نمودن جذب و انتقال کلرید سدیم، باعث یکپارچگی و انسجام غشاء سلولی و در نتیجه ممانعت از نشت یونی و تجمع مالون دی‌آلدئید در سلول می‌شود (Shool et al., 2023). تیمار با پتانسیم در تاماریکس (Chen et al., 2023) و تیمار با فسفر در ذغال اخته (Guo et al., 2022) تحت تنش شوری، موجب کاهش تولید پراکسیدید هیدروژن و مالون دی‌آلدئید شده بود. در این پژوهش نیز، تیمار فسفیت پتانسیم در هر دو غلظت باعث کاهش نشت یونی و محتوای مالون دی‌آلدئید در گیاه لیموترش شد.

براساس نتایج پژوهش حاضر، با افزایش سطح نمک، میزان پروتئین در برگ لیموترش کاهش پیدا کرد. کاهش مقدار پروتئین در گیاهان مواجه شده با تنش شوری، می‌تواند ناشی از کاهش سنتز پروتئین یا افزایش تجزیه آن، افزایش فعالیت پروتئاز، اکسیداسیون اسیدهای آمینه به گروه‌های کربونیل و تجزیه آنزیم‌های درگیر در سنتز پروتئین‌ها باشد (Vives-Peris et al., 2014).

کاهش میزان پروتئین و افزایش محتوای پرولین در اثر تنفس شوری در انجیر (*Ficus carica*) گزارش شد (Salimpour et al., 2018).

کمبود پتاسیم با کاهش فعالیت نیترات ردوکتاز، گلوتامین سنتتاز و گلوتامات سنتتاز؛ مهار جذب نیترات و کاهش سنتز پروتئین در مرکبات را به همراه داشته است. مطالعه اثر تنفس شوری بر پرتفال نیز حاکی از کاهش پروتئین بود (Wu et al., 2021). نتایج این پژوهش حاکی از افزایش میزان پروتئین‌ها در گیاهان تیمار شده با فسفیت پتاسیم باشد. محلول‌پاشی با پتاسیم باعث تبدیل سریع نیتروژن معدنی به پروتئین می‌شود (Uthman and Garba, 2023). کودهای حاوی پتاسیم و فسفر در گیاهان زغال اخته، محتوای پروتئین محلول را تا ۲/۱۱ برابر افزایش داد (Guo et al., 2022; Zhang et al., 2023 b).

یکی از سازوکارهای دفاع غیرآنزیمی برای رویارویی با تنفس اکسیداتیو در گیاهان، تجمع ترکیب‌های فنولی است. فنول‌ها، متابولیت‌های ثانویه‌ی گیاهی هستند که از مسیر شیکمیک اسید و از متابولیسم فنیل پروپانوئید سنتز می‌شوند می‌دهد (Kumar et al., 2013). ترکیبات فنولی با جمع‌آوری گونه‌های فعال اکسیژن، از اکسیداسیون مولکول‌های حیاتی سلول پیشگیری می‌کند، همچنین با مهار یا کاهش اکسیداسیون لیپیدها، مانع بروز تنفس اکسیداتیو در سلول می‌شوند. افزایش مقدار فنول‌های محلول به‌ویژه پیش‌سازهای بیوسنتز لیگنین، با افزایش ضخامت دیواره سلولی و ایجاد مانع زیستی جهت ورود نمک به سلول‌ها، تحمل آن‌ها را به سدیم کلرید افزایش می‌دهد (Kumar et al., 2013). در پژوهش حاضر با افزایش تنفس شوری، ظرفیت آنتی‌اکسیدانی و ترکیبات فنولی در گیاه لیموترش افزایش یافت.

همچنین نتایج این پژوهش نشان داد که تیمار فسفیت پتاسیم سبب افزایش ظرفیت آنتی‌اکسیدانی و ترکیبات فنولی در گیاه لیموترش شد. پتاسیم و فسفر با افزایش آسکوربیک اسید در گیاهان به عنوان یک بستر اولیه در مسیرهای چرخه‌ای برای سمزدایی پراکسید هیدروژن عمل می‌کنند. پتاسیم با داشتن بار مولکولی و اتصال به غشاء‌ها، آنها را تثبیت می‌کند و در نتیجه از اتصال رادیکال‌های آزاد و گونه‌های اکسیژن فعال به غشاء سلولی جلوگیری می‌کند و به حفظ سلامت غشاء‌های بیولوژیکی کمک می‌کند (Danaee and Abdossi, 2018). فسفیت پتاسیم با تغییر فعالیت آنزیم‌های دخیل در تولید یا تجزیه H_2O_2 موجب افزایش موقت و جزئی در مقدار H_2O_2 و منجر به القای ظرفیت آنتی‌اکسیدانی سلول و سایر پاسخ‌های کاهش‌دهنده اثرات منفی تنفس می‌شود (Mohammed et al., 2022). تیمار گیاهان ذغال اخته با کودهای پتاسیم و فسفر با افزایش محتوای فنول کل (۱/۲۳ برابر) (Zhang et al., 2023 b) و بهبود ظرفیت آنتی‌اکسیدانی همراه بوده است (Guo et al., 2022). همچنین محلول‌پاشی با نیترات پتاسیم و فسفات مونوپتاسیم باعث افزایش افزایش پروتئین، فنول کل و ظرفیت آنتی‌اکسیدانی پرتفال والنسیا شد (Uthman and Garba, 2023).

تنفس شوری موجب افزایش تولید آنیون‌های مخرب از جمله آنیون‌های سوپراکسید در میتوکندری و خسارت اکسیداتیو می‌شود. در چنین شرایطی، فعالیت آنزیم سوپراکسید دیسموتاز به عنوان یک آنزیم از بین برندۀ یون سوپراکسید افزایش می‌یابد. افزایش تجمع آنزیم‌های کاتالاز، گلوتاتیون ردوکتاز، آسکوربات پراکسیداز و پراکسیداز باعث تبدیل پراکسید هیدروژن تولید شده به ترکیبات بی اثر می‌شود (Azizi et al., 2021). همچنین با تجمع ترکیبات فنولی در واکوئل، غشاء‌های نفوذ‌پذیری انتخابی خود را از دستداده و فعالیت آنزیم پلی فنول اکسیداز در سیتوپلاسم سلول افزایش می‌یابد (Stepheniea et al., 2020). تاثیر تنفس شوری در افزایش آنزیم‌های آنتی‌اکسیدانی در انجیر (Salimpour et al., 2018) هم‌راستا با نتایج پژوهش حاضر در خصوص افزایش فعالیت آنزیم‌های مذکور در گیاه لیموترش است.

در پژوهش حاضر با افزایش تنفس شوری فعالیت آنزیم گایاکول پراکسیداز و فنیل آلانین آمونیالیاز در گیاه لیموترش افزایش یافت. گایاکول پراکسیداز از آنزیم‌های آنتی‌اکسیدانی است که از ترکیبات فنولی مثل گایاکول برای سمزدایی و تجزیه پراکسید هیدروژن در شرایط تنفس استفاده می‌کند (Stepheniea et al., 2020). این آنزیم، پراکسید هیدروژن را تجزیه و به آب تبدیل می‌کند. افزایش فعالیت این آنزیم به همراه سایر مکانیسم‌های دفاعی در سیتوزول به حفظ پایداری در این بخش کمک شایانی می‌نماید (Azizi et al., 2021). آنزیم فنیل آلانین آمونیالیاز نیز، به عنوان یک آنزیم کلیدی باعث بیوسنتز مسیرهای فنیل پروپانوئید و تولید اسید سینامیک به عنوان پیشرو در بیوسنتز مواد فنولیک مانند لیگنین می‌شود. همچنین با اثر بر گونه‌های اکسیژن فعال یا ایجاد نقص در مکانیسم سنتز آن‌ها، می‌تواند باعث افزایش تحمل گیاهان در برابر تنفس‌های محیطی شود (Danaee and Abdossi, 2018).

پتاسیم با تاثیر بر جذب روی و مس، که نقش کوفاکتور برای برخی آنزیم‌ها را دارد، باعث افزایش فعالیت آنزیم‌های آنتی‌اکسیدانی می‌شود. تیمار با پتاسیم در تاماریکس تحت تنش نمک، موجب افزایش فعالیت آنزیم‌های سوپراکسید دیسموتاز، پراکسیداز و کاتالاز شده است (Chen et al., 2023). در پژوهش حاضر، تیمار با فسفیت پتاسیم باعث افزایش فعالیت آنزیم‌های آنتی‌اکسیدانی و فنیل آلانین آمونیالیاز و کاهش میزان آنزیم پلی‌فنول‌اکسیداز در گیاه لیموترش گزارش شد. در تایید نتایج مطالعه حاضر، کاربرد سولفات‌پتاسیم باعث افزایش فعالیت آنزیم‌های آنتی‌اکسیدان در گیاه گردو (Darvishi and Ershadi, 2019)، کاربرد کود فسفر منجر به افزایش فعالیت آنزیم‌های آسکوربات‌پراکسیداز، کاتالاز و سوپراکسید دیسموتاز در گیاه گریپ‌فروت (Meng et al., 2021) و همچنین کاربرد کود فسفر و پتاسیم سبب کاهش میزان آنزیم پلی‌فنول‌اکسیداز و افزایش آنزیم فنیل آلانین آمونیالیاز در گیاه زیتون (Dabbagh et al., 2018) شده است.

نتیجه‌گیری

به طور کلی نتایج این پژوهش نشان داد در مواجه با سطوح بالاتر نمک، بر میزان مالون‌دی‌آلدئید و نشت یونی افزوده و از تعداد برگ، حجم ریشه، طول ساقه و ریشه کاسته شد. تیمار گیاهان لیموترش با فسفیت پتاسیم با بهبود ویژگی‌های رویشی، باعث بهبود فعالیت آنزیم‌ها، کاهش نشت یونی و مالون‌دی‌آلدئید شد. در مجموع این مطالعه نشان داد که تیمار ۱/۵ گرم‌در لیتر فسفیت پتاسیم به عنوان راهکاری مناسب در گیاهان مواجه شده با شوری قابل توصیه است.

References

منابع

- Abedi, B., B. Esfandiari, S.R. Vasal., & G.M. Davodinejad. (2021). The effect of different levels of chitosan on some physiological characteristics of citrus dicotyledons under salt stress. *Journal of Plant Research*, 6(2), 91-100. (in Persian).
- Akter, S., Huang, J., Waszcak, C., Jacques, S., Gevaert, K., Van Breusegem, F., & Messens, J. (2015). Cysteines under ROS attack in plants: a proteomics view. *Journal of Experimental Botany*, 66(10), 2935-2944.
- Azeem, M., Pirjan, K., Qasim, M., Mahmood, A., Javed, T., Muhammad, H., & Rahimi, M. (2023). Salinity stress improves antioxidant potential by modulating physio-biochemical responses in *Moringa oleifera* Lam. *Scientific Reports*, 13(1), 2895.
- Azizi, I., Esmailpour, B., & Fatemi, H. (2021). Exogenous nitric oxide on morphological, biochemical and antioxidant enzyme activity on savory (*Satureja hortensis* L.) plants under cadmium stress. *Journal of the Saudi Society of Agricultural Sciences*, 20(6), 417-423.
- Bradford, M. M. (1976). A rapid and sensitive method for the quantitation of microgram quantities of protein utilizing the principle of protein-dye binding. *Analytical biochemistry*, 72(1-2), 248-254.
- Chen, Y., Li, H., Zhang, S., Du, S., Zhang, J., Song, Z., & Jiang, J. (2023). Analysis of the main antioxidant enzymes in the roots of *Tamarix ramosissima* under NaCl stress by applying exogenous potassium (K⁺). *Frontiers in Plant Science*, 14, 1114266.
- Dabbagh, O., Oden, S., Willems, T., Attia, F., Hammami, M., Prinsen, E., & Mechri, B. (2018). Foliar application of bio-fertilizers influenced the endogenous concentrations of phytohormones and amino acids in leaves and roots of olive trees (*Olea europaea* L. cv. Chmelali). *African journal of agricultural research*, 13(34), AFC351B58218.
- Danaee, E., & Abdossi, V. (2018). Effect of different concentration and application methods of polyamines (putrescine, spermine, spermidine) on some morphological, physiological, and enzymatic characteristics and vase life of *Rosa hybrida* cv. 'Dolce Vita' cut flower. *Journal of Ornamental Plants*, 8(3), 171-182.
- Darjani, F., S. Shahnazari, H. Ebadi, B. Adouli, A. Gholamian, J. Fatahi Moghadam, M. Golmohammadi, B. Moradi, Y. Mohammad Aliyan., & S. Abu Ahsani Yasuri. (2013). Guide to citrus fruit (planting, growing, harvesting), Agricultural Research, Education and Promotion Organization, Vice President of Education and Promotion. *Agricultural Education Public*. (in Persian).
- Darvishi, A & A. Ershadi. (2019). The effect of potassium sulfate application on quantitative and qualitative characteristics of Chandler walnut fruit. Nutrition and Irrigation (poster), the 12th Cong. *Horticultural Science Iran*. 14 to 17 September - Vali Asr Univ. Rafsanjan.
- Gómez-Merino, F. C., & Trejo-Téllez, L. I. (2015). Biostimulant activity of phosphite in horticulture. *Scientia Horticulturae*, 196, 82-90.
- Gulain, B., V. Rabiei, F. Mirabbasi, R. Fifaei., & M.F. Halaji Sani. (2014). Investigating the effect of salinity stress on physiological and biochemical traits of citrus genotypes. *Journal of Horticultural Science*, 29(3), 416-425. (in Persian).

- Guo, X., Li, S., Wang, D., Huang, Z., Sarwar, N., Mubeen, K., & Hussain, M. (2021). Effects of water and fertilizer coupling on the physiological characteristics and growth of rabbiteye blueberry. *PloS one*, 16(7), e0254013.
- Hasani, A., H. Shirzad, R. Jalili-Marandi., & A. Samadi. (2021). Morphological and physiological responses of two olive cultivars to salinity stress caused by sodium chloride. *Applied soil research*, 9, 101-88. (in Persian).
- Hossain, A., Azeem, F., Shahriar, S. M., & Islam, M. T. (2021). Regulation of proline transporters in salt stress response in plants. In *Transporters and Plant Osmotic Stress* (pp. 291-306). Academic Press.
- Kaboodkhani, M., Salek Mearaji, H., Aghaei, K., & Tavakoli, A. (2023). Investigation of the effect of salinity stress on physiological traits and grain yield of quinoa cultivars. *Journal of Crops Improvement*, 25(1), 221-233.
- Kumar, D., Mishra, D. S., Chakraborty, B., & Kumar, P. (2013). Pericarp browning and quality management of litchi fruit by antioxidants and salicylic acid during ambient storage. *Journal of food science and technology*, 50, 797-802.
- Li, D., Li, X., Han, Q., Zhou, Y., Dong, J., & Duan, Z. (2020). Phosphorus application improved the yield of citrus plants grown for three years in an acid soil in the Three Gorges Reservoir Area. *Scientia Horticulturae*, 273, 109596.
- Mohammed, U., Davis, J., Rossall, S., Swarup, K., Czyzewicz, N., Bhosale, R., ... & Swarup, R. (2022). Phosphate treatment can improve root biomass and nutrition use efficiency in wheat. *Frontiers in Plant Science*, 13, 4261.
- Munns, R., & Tester, M. (2008). Mechanisms of salinity tolerance. *Annu. Rev. Plant Biol.*, 59, 651-681.
- Pashangah, Z., M. Shamili, F. Abdulahi., & M. Ghasemi. (2019). Interaction of salinity and gibberellin on leaf fall, dry matter, activity of antioxidant enzymes and content of elements in guava (*Psidium guajava* L.). *Journal of Plant Research*, 31, 809-826. (in Persian).
- Saberi-Riseh, R., Fathi, F., & Moradzadeh-Eskandari, M. (2020). Effect of some *Pseudomonas fluorescens* and *Bacillus subtilis* strains on osmolytes and antioxidants of cucumber under salinity stress. *Journal of Crop Protection*, 9(1), 1-16.
- Salimpour, A., M. Shamili, A. Dadkhodaei, H .Zare., & M. Haddanijad. (2018). The effect of salinity on the content of antioxidant enzymes, photosynthetic pigments, protein and proline in fig cultivars (*Ficus carica*). *Plant Process and Function*, 8, 109-123. (in Persian).
- Shool, A., Roosta, H. R., & Dashti, H. (2023). Effects of Irrigation-based Potassium Fertilizer on Leaf and Nut Nutrients of Two Pistachio Cultivars. *Journal of Nuts*, 14(1), 71-93.
- Singh, A., Shekhar, S., Marker, S., & Ramteke, P. W. (2021). Changes in morpho-physiological attributes in nine genotypes of linseed (*Linum usitatissimum* L.) under different level of salt (NaCl) stress. *Vegetos*, 34(3), 647-653.
- Slama, I., Abdelly, C., Bouchereau, A., Flowers, T., & Savouré, A. (2015). Diversity, distribution and roles of osmoprotective compounds accumulated in halophytes under abiotic stress. *Annals of botany*, 115(3), 433-447.
- Souri, Z., Karimi, N., & de Oliveira, L. M. (2018). Antioxidant enzymes responses in shoots of arsenic hyperaccumulator, *Isatis cappadocica* Desv., under interaction of arsenate and phosphate. *Environmental technology*, 39(10), 1316-1327.
- Srivastav, M., Kishor, A., Dahuja, A., & Sharma, R. R. (2010). Effect of paclobutrazol and salinity on ion leakage, proline content and activities of antioxidant enzymes in mango (*Mangifera indica* L.). *Scientia Horticulturae*, 125(4), 785-788.
- Stepheniea, S., Y. Ping Changb A. Gnanasekaranc, N. Mohd Esad., & Ch. Gnanaraj. (2020). An insight on superoxide dismutase (SOD) from plants for mammalian health enhancement. *Journal of Functional Food*, 68, 1-10.
- Syvertsen, J. P., & Garcia-Sanchez, F. (2014). Multiple abiotic stresses occurring with salinity stress in citrus. *Environmental and Experimental Botany*, 103, 128-137.
- Uthman, A., & Garba, Y. (2023). Citrus Mineral Nutrition and Health Benefits: A Review. *Citrus Research-Horticultural and Human Health Aspects*.
- Vakili-Ghartavol, M., & Alizadeh-Salteh, S. (2016). Comparison between metabolites and antioxidant activity of saffron (*Crocus sativus* L.) from Kashmar and Marand regions. *Saffron agronomy and technology*, 4(3).
- Vives-Peris, V., López-Climent, M. F., Moliner-Sabater, M., Gomez-Cadenas, A., & Perez-Clemente, R. M. (2023). Morphological, physiological, and molecular scion traits are determinant for salt-stress tolerance of grafted citrus plants. *Frontiers in Plant Science*, 14, 1145625.
- Wu, S., Zhang, C., Li, M., Tan, Q., Sun, X., Pan, Z., ... & Hu, C. (2021). Effects of potassium on fruit soluble sugar and citrate accumulations in Cara Cara navel orange (*Citrus sinensis* L. Osbeck). *Scientia Horticulturae*, 283, 110057.

- Yazdi Sajjadi, A., A. Panahpour, H. Nadian., & A. Vaghiami. (2020). The effect of sodium chloride salinity on some growth and morphological characteristics in three varieties of pistachio. Scientific. *Journal of Garden Plant Nutrition*, 3(2), 17-28. (in Persian).
- Ye, S., & Peng, B. (2019, November). Effects of application of nitrogen, phosphorus and potassium on soil fertility and enzyme activities of pear jujube under straw mulching. In *IOP Conference Series: Earth and Environmental Science* (Vol. 384, No. 1, p. 012098). IOP Publishing.
- Zhang, M., Li, X., Wang, X., Feng, J., & Zhu, S. (2023). Potassium fulvic acid alleviates salt stress of citrus by regulating rhizosphere microbial community, osmotic substances and enzyme activities. *Frontiers in Plant Science*, 14, 1161469.
- Zhang, X., Li, S., An, X., Song, Z., Zhu, Y., Tan, Y., ... & Wang, D. (2023). Effects of nitrogen, phosphorus and potassium formula fertilization on the yield and berry quality of blueberry. *Plos one*, 18(3), e0283137.
- Zhao ZuoPing, Z. Z., Duan Min, D. M., Yan Sha, Y. S., Liu ZhiFeng, L. Z., Wang Qi, W. Q., Fu Jing, F. J., & Tong Yan'an, T. Y. A. (2017). Effects of different fertilizations on fruit quality, yield and soil fertility in field-grown kiwifruit orchard. *International Journal of Agriculture and Biology Engineering*, 10(2), 162–171.

The Impact of Potassium Phosphate on Growth Parameters and Antioxidant Activities of Lime (*Citrus aurantifolia* (Christm.) Swingle) under Salinity Conditions

Sara Atrash¹, Mansoore Shamili^{*2}, Abdolmajid Mirzaalian Dastjerdi¹, Azadeh Goudarzi³, Abdoolnabi Bagheri³

1. Department of Horticultural sciences, University of Hormozgan, Bandar Abbas, Iran

2. Hormoz Research Center, University of Hormozgan, Bandar Abbas, Iran

3. Plant Protection Research Department, Hormozgan Agricultural and Natural Resources Research and Education Center, AREEO, Bandar Abbas, Iran

*Corresponding Author, Email: (shamili@ut.ac.ir)

Salinity is among the abiotic stresses restricts citrus growth. In this regard, the selection of appropriate method to improve growth characteristics and antioxidant response under salt stress conditions can be useful. The present pot research was conducted as factorial reperiment in a completely randomized design with three replications in the greenhouse of University of Hormozgan during 2021. The used lime plants were six-month-old seedlings (height about 60 cm) healthy and disease-free. Experimental treatments were included salinity (1.5, 3, 4.5, and 6 dS/m) and potassium phosphate (0, 1.5, and 3 g L⁻¹). The results revealed the 6 dS/m of salt led to a decrease in leaf number, stem length and root volume (25.27, 13.8 and 47.8% respectively) and increased ion leakage and malondialdehyde (50.47 and 34.5%, respectively). Application of potassium phosphate (1.5 g L⁻¹) increased leaf number, stem length, root volume and root length (33.87%, 32.38%, 15.5% and 11.05%, respectively). In addition, the potassium phosphate treatment increased protein content and activity of catalase, superoxide dismutase, phenylalanine ammonialyase, guaiacol peroxidase and ascorbic peroxidase (36.9, 95.97, 69.1, 30.20, 65.7 and 78.5%, respectively) and decreased ion leakage and malondialdehyde (75.7% and 40.6%, respectively). Based on the results, it can be expected that potassium phosphate (1.5 g L⁻¹) by stimulating the antioxidant system and neutralized oxygen free radicals, improves growth characteristics and moderates the harmful effects of salinity stress in lime.

Keywords: Antioxidant enzyme, Ion leakage, Phenol, Sodium chloride, Stem length.